

Cálculo de Equilibrio de Mercado en Economías con Incertidumbre vía Métodos de Primer Orden

Memoria de Título - MAT308

Estudiante: Alan Grez Jimenez
Profesores Guía: Julio Deride - Luis Briceño
Presidente Comisión: Nicolás Hernández

Departamento de Matemática
Universidad Técnica Federico Santa María

27 Junio 2024

1 Introducción

2 Problema de Equilibrio de Walras Estocástico

- Problema de Equilibrio
- No-Anticipatividad

3 Algoritmos

- Three-Operator Splitting Scheme (TOPS)
- Forward-Partial-Inverse Splitting (FPIS)
- Alternating Direction Method Multipliers (ADMM)

4 Simulación y Resultados Numéricos

- Problemas Inversor-Consumidor
- Aplicación Algoritmos
- Deducción del precio
- Resultados Numéricos

5 Conclusiones y Perspectivas

- Conclusiones
- Perspectivas

Introducción I

El siguiente trabajo de memoria estudia los problemas económicos de equilibrio estocástico, con aplicación en mercados eléctricos [5] [7] [8]. En particular el diseño de algoritmos para su solución.

Objetivo

- Resolver problemas de equilibrio estocástico en economías de múltiples agentes a través de una formulación centralizada, mediante tres métodos numéricos de primer orden y la aplicación de *no-anticipatividad* como método de relajación al problema centralizado.

Problema de Equilibrio de Walras Estocástico

1 Introducción

2 Problema de Equilibrio de Walras Estocástico

- Problema de Equilibrio
- No-Anticipatividad

3 Algoritmos

- Three-Operator Splitting Scheme (TOPS)
- Forward-Partial-Inverse Splitting (FPIS)
- Alternating Direction Method Multipliers (ADMM)

4 Simulación y Resultados Numéricos

- Problemas Inversor-Consumidor
- Aplicación Algoritmos
- Deducción del precio
- Resultados Numéricos

5 Conclusiones y Perspectivas

- Conclusiones
- Perspectivas

Problema de Equilibrio

Cómo introducción al tipo de problema que buscamos resolver, tenemos,

Problema de Equilibrio Inversor-Consumidor

Hallar el precio por unidad generada $\rho_\xi \in \mathbb{R}$ por cada escenario $\xi \in \Xi$ tal que,

$$\begin{aligned}
 & \min_{c, g \geq 0} \quad \varphi_1(c) + \mathbb{E}_\xi \{ \varphi_2(\xi, g_\xi) + \iota_{\mathbb{R}^+}(c - g_\xi) \} + \mathbb{E}_\xi \{ \langle \rho_\xi, 1^T g_\xi \rangle \}, \\
 & \min_{q \geq 0} \quad \mathbb{E}_\xi \{ \varphi_3(\xi, q_\xi) \} - \mathbb{E}_\xi \{ \langle \rho_\xi, q_\xi \rangle \}, \\
 & 1_N^T g_\xi - q_\xi \geq 0, \quad \forall \xi \in \Xi.
 \end{aligned} \tag{1}$$

Problema de Equilibrio

1 Introducción

2 Problema de Equilibrio de Walras Estocástico

- Problema de Equilibrio
- No-Anticipatividad

3 Algoritmos

- Three-Operator Splitting Scheme (TOPS)
- Forward-Partial-Inverse Splitting (FPIS)
- Alternating Direction Method Multipliers (ADMM)

4 Simulación y Resultados Numéricos

- Problemas Inversor-Consumidor
- Aplicación Algoritmos
- Deducción del precio
- Resultados Numéricos

5 Conclusiones y Perspectivas

- Conclusiones
- Perspectivas

Problema de Equilibrio I

Consideremos una economía con $M \in \mathbb{N}$ agentes que comercian un N bienes diferentes a un precio de mercado $\rho \in \mathbb{R}^N$.

Problema de Equilibrio

Sean un vector de precio $\rho \in \mathbb{R}^N$ y funciones $\{\varphi^i\}_{i=1}^M$ tal que $\varphi^i : \mathbb{R}^N \rightarrow \mathbb{R} \cup \{+\infty\}$ son propias, convexas y semi-continuas inferiores para todo $i = 1, \dots, M$. El problema de equilibrio es hallar ρ tal que

$$x^i \in \operatorname{argmin}_{x^i \in \mathbb{R}^N} \{ \varphi^i(x^i) + \langle \rho, x^i \rangle \}, \quad \forall i \in \{1, \dots, M\}, \quad (2)$$

y donde

$$\sum_{i=1}^M x^i = 0. \quad (3)$$

Problema de Equilibrio II

La solución al Problema de Equilibrio (2)-(3) viene dada por

Solución Problema de Equilibrio

Son solución $\rho^* \in \mathbb{R}^N$ y una colección $\{x^{i*}\}_{i=1}^M \subset \mathbb{R}^N$ de (2)-(3) si,

$$\forall i = 1, \dots, M, \quad x^{i*} \in \operatorname{argmin}_{x^i \in \mathbb{R}^N} \{ \varphi^i(x^i) + \langle \rho^*, x^i \rangle \} \quad (4)$$

y

$$\sum_{i=1}^M x^{i*} = 0. \quad (5)$$

Esta solución está bien definida debido a las hipótesis que se establecen en el Problema de Equilibrio (2)-(3).

Problema Centralizado I

Se propone una formulación centralizada [9] del problema de equilibrio que asegure la restricción de equilibrio (3) por:

Problema Centralizado

Sean $\{\varphi^i\}_{i=1}^M$ funciones tal que $\varphi^i : \mathbb{R}^N \rightarrow \mathbb{R} \cup \{+\infty\}$ son propias, convexas y semi-continuas inferiores y $x := (x^i)_{i=1}^M \in \mathbb{R}^{MN}$. El problema centralizado es:

$$\begin{aligned} \min_{x \in \mathbb{R}^{NM}} \quad & \sum_{i=1}^M \varphi^i(x^i), \text{ con } x = (x^i)_{i=1}^M \\ \text{s.t.} \quad & \sum_{i=1}^M x^i = 0. \end{aligned} \tag{6}$$

Problema Centralizado II

La solución al Problema de Centralizado (6) es:

Solución Problema Centralizado

Son solución $(x^{i*})_{i=1}^M =: x^* \in \mathbb{R}^{MN}$ de (6) si

$$x^* \in \underset{x \in \mathbb{R}^{MN}}{\operatorname{argmin}} \left\{ \sum_{i=1}^M \varphi^i(x^i) \mid \sum_{i=1}^M x^i = 0 \right\}. \quad (7)$$

Esta solución está bien definida debido a las hipótesis que se establecen en el Problema Centralizado (6).

Teorema

Caracterización de la solución del Problema de Equilibrio (2)-(3) a partir del Problema Centralizado (6).

Theorem (Caracterización Soluciones)

Sea el Problema de Equilibrio (2)-(3), $(\rho^, \{x^{i*}\}_{i=1}^M) \in \mathbb{R}^N \times \mathbb{R}^{MN}$ una solución y $x^* \in \mathbb{R}^{MN}$ una solución al Problema Centralizado (6). Si*

$$\left(\bigcap_{i=1}^M ri \, dom \, \varphi^i \right) \cap ri \, dom \left(\iota_{\{0\}} \circ \sum_{i=1}^M \pi_i \right) \neq \emptyset$$

y $ri \, dom \, \varphi^i$ convexo para todo $i = 1, \dots, M$, entonces x^ resuelve el problema de equilibrio y $\{x^{i*}\}_{i=1}^M$ resuelve el problema centralizado.*

con $ri(\cdot)$ el interior relativo del conjunto, $dom(\cdot)$ es el dominio de la función, $\iota_{\{0\}}$ es la función indicatriz sobre el singleton $\{0\}$ y π_i a proyección sobre la variable de decisión del i -ésimo término y satisface $\pi_i x^* = x^{i*}$ para $i = 1, \dots, M$.

No-Anticipatividad

1 Introducción

2 Problema de Equilibrio de Walras Estocástico

- Problema de Equilibrio
- No-Anticipatividad

3 Algoritmos

- Three-Operator Splitting Scheme (TOPS)
- Forward-Partial-Inverse Splitting (FPIS)
- Alternating Direction Method Multipliers (ADMM)

4 Simulación y Resultados Numéricos

- Problemas Inversor-Consumidor
- Aplicación Algoritmos
- Deducción del precio
- Resultados Numéricos

5 Conclusiones y Perspectivas

- Conclusiones
- Perspectivas

No-Anticipatividad I

- Introduciremos *No-anticipatividad* como técnica de relajamiento al Problema Centralizado (6). Formulación basada en los trabajos [13], [11], [12] y [10].
- Sea un horizonte de eventos de 2 etapas.
- El conjunto de escenarios por $\Xi := \Xi_1 \times \Xi_2$, así los elementos $\xi \in \Xi$ tienen probabilidad conocida, $p(\xi) = p_\xi > 0$ y $\sum_{\xi \in \Xi} p_\xi = 1$.
- Definimos una respuesta a un escenario por

$$x(\cdot) : \xi \rightarrow x(\xi) = (x_1(\xi), x_2(\xi)) \in \mathbb{R}^{n_1} \times \mathbb{R}^{n_2} =: \mathbb{R}^N.$$

- Estas variables pertenecen al espacio vectorial Hilbert $(\mathcal{H}, \langle \cdot, \cdot \rangle_{\mathcal{H}})$, donde $\mathcal{H} = \{x(\cdot) : \Xi \rightarrow \mathbb{R}^N \mid x \text{ función}\}$ y

$$\langle x, y \rangle_{\mathcal{H}} = \mathbb{E} \{ \langle x_1(\xi), y_1(\xi) \rangle_{\mathbb{R}^{n_1}} \} + \mathbb{E} \{ \langle x_2(\xi), y_2(\xi) \rangle_{\mathbb{R}^{n_2}} \}.$$

No-Anticipatividad II

La decisión $x_t(\xi)$ depende sólo de la información revelada hasta la etapa $t = 1, 2$.

No-Anticipatividad

Denominamos *No-Anticipatividad* a la propiedad

$$x_1(\xi) = x_1, \quad x_2(\xi) = x_2(\xi_1), \quad \text{con } \xi_1 \in \Xi_1, \quad (8)$$

con x_1 independiente de los escenarios.

Espacio de *No-Anticipatividad*

El conjunto de todas las variables *no-anticipativas* es

$$\mathcal{N} := \{x(\cdot) \in \mathcal{H} \mid x_1(\xi) = x_1(\xi'), \quad \forall \xi, \xi' \in \Xi\}, \quad (9)$$

y conforman un subespacio vectorial de \mathcal{H} , ie, $\mathcal{N} \leq \mathcal{H}$.

No-Anticipatividad III

Por último, el esquema de minimización es

Problema de Minimización Estocástico de 2 Etapa

Sea \mathcal{H} es un espacio de Hilbert y $\mathcal{N} \leq \mathcal{H}$ como en (9),

$$\begin{aligned} \min_{x \in \mathcal{H}} \quad & \mathbb{E}\{f_1(x_1(\xi), \xi) + f_2(x_2(\xi), \xi)\} \\ \text{s.t.} \quad & x \in \mathcal{N}, \end{aligned}$$

donde $f(x(\cdot), \cdot) : \Xi \rightarrow \mathbb{R}$ y $f(\cdot, \xi) : \mathcal{H} \rightarrow \mathbb{R} \cup \{+\infty\}$ son funciones propias, convexas y semi-continua inferiores.

No-Anticipatividad IV

- Gracias a la formulación mediante *no-anticipatividad*, los siguientes problemas son equivalentes.

Minimización Estocástica

Sea \mathcal{H} Hilbert,

$$\min_{x \in \mathcal{H}} f_1(x_1) + \mathbb{E}\{f_2(x_2(\xi), \xi)\}$$

Minimización Estocástica 2 Etapas

Sea \mathcal{H} Hilbert y $\mathcal{N} \leq \mathcal{H}$ como (9),

$$\begin{aligned} \min_{x \in \mathcal{H}} \quad & \mathbb{E}\{f_1(x_1(\xi)) + f_2(x_2(\xi), \xi)\} \\ \text{s.t.} \quad & x \in \mathcal{N}, \end{aligned}$$

- Suponemos hipótesis de convexidad y semi-continuidad inferior para ambos problemas de tal forma que ambos estén bien definidos.
- El problema de minimización estocástica de dos etapas es separable por escenarios.

Algoritmos

- 1 Introducción
- 2 Problema de Equilibrio de Walras Estocástico
 - Problema de Equilibrio
 - No-Anticipatividad
- 3 Algoritmos
 - Three-Operator Splitting Scheme (TOPS)
 - Forward-Partial-Inverse Splitting (FPIS)
 - Alternating Direction Method Multipliers (ADMM)
- 4 Simulación y Resultados Numéricos
 - Problemas Inversor-Consumidor
 - Aplicación Algoritmos
 - Deducción del precio
 - Resultados Numéricos
- 5 Conclusiones y Perspectivas
 - Conclusiones
 - Perspectivas

Algoritmos

En esta sección estudiamos algoritmos aplicados a distintos problemas de minimización y revisamos las hipótesis necesarias para su convergencia.

Introduzcamos el operador proximal

Operador Proximal

Sea $f : \mathcal{H} \rightarrow \mathbb{R}$ una función propia, convexa y semi-continua inferior, el *operador proximal de f* viene dado por

$$\text{prox}_f(x) = \underset{y \in \mathcal{H}}{\operatorname{argmin}} \left(f(y) + \frac{1}{2} \|x - y\|_{\mathcal{H}}^2 \right),$$

el cual está bien definido [1, Definición 12.23].

Notar que si $f = \iota_X$ con $X \neq \emptyset$ cerrado y convexo, entonces $\text{prox}_{\iota_X} = P_X$, es decir, la proyección al conjunto X [1, Teorema 3.16].

Three-Operator Splitting Scheme (TOPS) I

El siguiente método está basado en [4, Sección 3.1].

Three-Operator Splitting Scheme.

Sea \mathcal{H} espacio de Hilbert,

$$\min_{x \in \mathcal{H}} f(x) + g(x) + h(x) \quad (10)$$

donde $f, g : \mathcal{H} \rightarrow \mathbb{R} \cup \{+\infty\}$ son funciones semi-continuas inferiores, propias y convexas, $h : \mathcal{H} \rightarrow \mathbb{R}$ es convexa, diferenciable y ∇h es L -Lipschitz continua.

- La idea es explotar 3 operadores por separado.
- Ventajoso por sobre la activación de $(f + g + h)(\cdot)$ cuando su proximal es difícil de calcular.
- Activa f y g separadamente vía proximal.

Three-Operator Splitting Scheme (TOPS) II

De esta forma, introducimos el siguiente algoritmo que resuelve el problema (10),

Three-Operator Splitting Scheme (TOPS) [4, Sección 3.1]

Algoritmo 1: TOPS

Let: Sea $z_0 \in \mathcal{H}$, $\gamma \in (0, \frac{2}{L})$

```
1 for  $k = 0, \dots, N$  do  
2    $x_g^k = \text{prox}_{\gamma g}(z_k)$   
3    $x_f^k = \text{prox}_{\gamma f}(2x_g^k - z_k - \gamma \nabla h(x_g^k))$   
4    $z_{k+1} = z_k + x_f^k - x_g^k$ 
```

Three-Operator Splitting Scheme (TOPS) III

La convergencia del algoritmo 1, está asegurada por el siguiente teorema,

Theorem (Convergencia TOPS [4])

Sean \mathcal{H} , f , g , h y L como en (10) y $x^ \in \mathcal{H}$ óptimo que resuelve (10), entonces x_g^k converge a x^* .*

La demostración se deduce de [4, Teorema 2.1]. \square

Forward-Partial-Inverse Splitting (FPIS) I

El siguiente método explota el siguiente esquema [3, Problema 6.6]

Forward-Partial-Inverse Splitting

Sea \mathcal{H} espacio de Hilbert,

$$\min_{x \in \mathcal{V}} f(x) + g(x) \quad (11)$$

donde $\mathcal{V} \leq \mathcal{H}$, $f : \mathcal{H} \rightarrow \mathbb{R} \cup \{+\infty\}$ es una función propia, convexa y semi-continua inferior, $g : \mathcal{H} \rightarrow \mathbb{R}$ es convexa y diferenciable y ∇g es L -Lipschitz continua.

- El siguiente método explota la separación de 2 operadores y la estructura de espacio vectorial.
- Ventajoso por sobre la activación de $(f + g)(\cdot)$ vía proximal.

Forward-Partial-Inverse Splitting (FPIS) II

De esta forma, introducimos el siguiente algoritmo que resuelve el problema (11),

Forward-Partial-Inverse Splitting (FPIS) [3, Seccion 6.1]

Algoritmo 2: FPIS

```
1 Let: Sea  $z_0 \in \mathcal{H}$ ,  $\gamma \in (0, \frac{2}{L})$   
2 for  $k = 0, \dots, N$  do  
3    $x^k = P_V z^k$   
4    $y^k = (x^k - z^k) / \gamma$   
5    $s^k = x^k - \gamma P_V(\nabla g(x^k)) + \gamma y^n$   
6    $p^k = \text{prox}_{\gamma f}(s^k)$   
    $z^{k+1} = z^k + \lambda^k(p^k - x^k)$ 
```

Forward-Partial-Inverse Splitting (FPIS) III

La convergencia del algoritmo viene garantizada por el siguiente teorema,

Theorem (Convergencia FPIS [3])

Sean \mathcal{H} , V , f , g como en (11), sea $\gamma \in]0, 2/L[$, sea $\alpha = \max\{2/3, 2/(\gamma + 2/L)\}$ y sea $\{\lambda_n\}_{n \in \mathbb{N}} \subset]0, 1/\alpha[$. Si

$$0 \in (\partial f + \nabla g + N_V)$$

Entonces el algoritmo 2 converge a un \bar{x} de manera factible respecto al espacio vectorial, esto es, la sucesión $\{x_n\}_{n \in \mathbb{N}} \subset V$, \bar{x} es solución del problema (11) y $x_n \rightarrow \bar{x}$.

La demostración está en [3, Proposición 6.7]. \square

Alternating Direction Method Multipliers (ADMM) I

El siguiente método explota el siguiente esquema [2, Subsección 3].

Alternating Direction Method Multipliers

Sea $\mathcal{H} = \mathbb{R}^N \times \mathbb{R}^M$

$$\begin{aligned} \min_{(x,z) \in \mathcal{H}} \quad & f(x) + g(z), \\ \text{s.t.} \quad & Ax + Bz = c, \end{aligned} \tag{12}$$

donde $f : \mathbb{R}^N \rightarrow \mathbb{R} \cup \{+\infty\}$, $g : \mathbb{R}^M \rightarrow \mathbb{R} \cup \{+\infty\}$ son funciones propias, convexas y semi-continuas inferiores, $A \in \mathbb{M}^{p \times N}(\mathbb{R})$, $B \in \mathbb{M}^{p \times M}(\mathbb{R})$ son matrices y $c \in \mathbb{R}^p$.

- El siguiente método explota la separación de la función objetivo.
- Ventajoso por la copia de la variable x con z .

Alternating Direction Method Multipliers (ADMM) II

Definimos el *Lagrangeano Aumentado* para $r \geq 0$ por:

$$L_r(x, z, y) := f(x) + g(z) + y^T(Ax + Bz - c) + \frac{r}{2} \|Ax + Bz - c\|_2^2 \quad (13)$$

El siguiente algoritmo resuelve el problema (12),

Alternating Direction Method Multipliers (ADMM) [2, Sección 3.2]

Algoritmo 3: ADMM

Let: $r > 0$

```
1 for  $k = 1, \dots, N$  do  
2    $x^{k+1} = \operatorname{argmin}_x L_r(x, z^k, y^k)$   
3    $z^{k+1} = \operatorname{argmin}_z L_r(x^{k+1}, z, y^k)$   
4    $y^{k+1} = y^k + r(Ax^{k+1} + Bz^{k+1} - c)$ 
```

Alternating Direction Method Multipliers (ADMM) III

La convergencia del algoritmo está garantizado por el siguiente teorema,

Theorem (Convergencia ADMM [2])

Sean f y g definidas como en (12) y L_0 definido en (13). Si L_0 tiene un punto silla, i.e., que existe $(x^, z^*, y^*) \in \mathbb{R}^N \times \mathbb{R}^M \times \mathbb{R}^p$ tal que $\forall (x, z, y) \in \mathbb{R}^N \times \mathbb{R}^M \times \mathbb{R}^p$,*

$$L_0(x^*, z^*, y) \leq L_0(x^*, z^*, y^*) \leq L_0(x, z, y^*),$$

entonces,

- *(i) (x^*, z^*) es solución de primal de (12)*
- *(ii) y^* es el óptimo dual de (12)*
- *(iii) Si $r^k = Ax^k + Bz^k - c$, entonces $r^k \rightarrow 0$.*
- *(iv) $f(x^k) + g(z^k) \rightarrow f(x^*) + g(z^*)$.*

La demostración está en [2, Subsección 3.2]. \square

Simulación y Resultados Numéricos

- 1 Introducción
- 2 Problema de Equilibrio de Walras Estocástico
 - Problema de Equilibrio
 - No-Anticipatividad
- 3 Algoritmos
 - Three-Operator Splitting Scheme (TOPS)
 - Forward-Partial-Inverse Splitting (FPIS)
 - Alternating Direction Method Multipliers (ADMM)
- 4 Simulación y Resultados Numéricos
 - Problemas Inversor-Consumidor
 - Aplicación Algoritmos
 - Deducción del precio
 - Resultados Numéricos
- 5 Conclusiones y Perspectivas
 - Conclusiones
 - Perspectivas

Problemas Inversor-Consumidor

1 Introducción

2 Problema de Equilibrio de Walras Estocástico

- Problema de Equilibrio
- No-Anticipatividad

3 Algoritmos

- Three-Operator Splitting Scheme (TOPS)
- Forward-Partial-Inverse Splitting (FPIS)
- Alternating Direction Method Multipliers (ADMM)

4 Simulación y Resultados Numéricos

- Problemas Inversor-Consumidor
- Aplicación Algoritmos
- Deducción del precio
- Resultados Numéricos

5 Conclusiones y Perspectivas

- Conclusiones
- Perspectivas

Problemas Inversor-Consumidor I

Dado un horizonte de eventos de 2 etapas. Una determinista y, una segunda etapa, estocástica, tal que el conjunto de escenarios de esta segunda es

$$\xi \in \Xi = \{\xi_1, \dots, \xi_M\} \text{ tal que } p_\xi \text{ es conocido y } \sum_{\xi \in \Xi} p_\xi = 1. \quad (14)$$

Sea una economía de dos agentes compuesta por un inversor y un consumidor que interactúan entre sí. La asignación de recursos viene por:

	Etapa	
	Etapa 1	Etapa 2
Agente		
Inversor	c	g
Consumidor	$--$	q

Problemas Inversor-Consumidor II

Los costos asociados a cada decisión de agente vienen por:

Agente	Etapa	
	Etapa 1	Etapa 2
Inversor	$\varphi_1 : \mathbb{R}^N \rightarrow \mathbb{R}$	$\varphi_2 : \Xi \times \mathbb{R}^N \rightarrow \mathbb{R}$
Consumidor	--	$\varphi_3 : \Xi \times \mathbb{R}^N \rightarrow \mathbb{R}$

De esta forma,

Problema de Equilibrio Inversor-Consumidor

Hallar el precio por unidad generada $\rho_\xi \in \mathbb{R}$ por cada escenario $\xi \in \Xi$ tal que,

$$\begin{aligned}
 \min_{c, g \geq 0} \quad & \varphi_1(c) + \mathbb{E}_\xi \{ \varphi_2(\xi, g_\xi) + \iota_{\mathbb{R}^+}(c - g_\xi) \} + \mathbb{E}_\xi \{ \langle \rho_\xi, 1^T g_\xi \rangle \}, \\
 \min_{q \geq 0} \quad & \mathbb{E}_\xi \{ \varphi_3(\xi, q_\xi) \} - \mathbb{E}_\xi \{ \langle \rho_\xi, q_\xi \rangle \}, \\
 & 1_N^T g_\xi - q_\xi \geq 0, \quad \forall \xi \in \Xi.
 \end{aligned} \tag{15}$$

Problemas Inversor-Consumidor III

- Notar que $1^T g_\xi > 0$, esto es, aportar bienes a la economía representando lo que se oferta, o simplemente la oferta.
- Notar que $0 > -q_\xi$ sustrae bienes a la economía, actuando como lo que se consume, o simplemente demanda.

Problemas Inversor-Consumidor IV

De esta forma, al asignar cada variable y función, como en (2)

$$x^1 = (c, g),$$

$$x^2 = q,$$

$$\varphi^1(x^1) = \varphi_1(c) + \mathbb{E}_\xi \{ \varphi_2(\xi, g_\xi) + \iota_{\mathbb{R}^+}(c - g_\xi) \},$$

$$\varphi^2(x^2) = \mathbb{E}_\xi \{ \varphi_3(\xi, q_\xi) \},$$

recuperamos el problema de equilibrio aplicado al problema de inversor-consumidor con la restricción de equilibrio

$$1_N^T g_\xi - q_\xi \geq 0, \quad \forall \xi \in \Xi.$$

Problemas Inversor-Consumidor V

Así, el Problema Centralizado (6) es,

Problema Centralizado

$$\min_{(c,g,q) \in \mathcal{H}} \quad \varphi_1(c) + \mathbb{E}_{\xi} \{ \varphi_2(\xi, g_{\xi}) + \varphi_3(\xi, q_{\xi}) \} \quad (16)$$

$$\begin{aligned} s.t. \quad & 1_N^T g_{\xi} - q_{\xi} \geq 0, \quad \forall \xi \in \Xi, \\ & c - g_{\xi} \geq 0, \quad \forall \xi \in \Xi, \\ & c, g_{\xi}, q_{\xi} \geq 0, \quad \forall \xi \in \Xi, \end{aligned} \quad (17)$$

- Por Teorema 1, la solución de (16)-(17) resuelve el problema de equilibrio (15).

Problemas Inversor-Consumidor VI

Con $(c, g, q) \in (\mathcal{H}, \langle \cdot, \cdot \rangle_{\mathcal{H}})$, donde $\mathcal{H} := \mathbb{R}^N \times \mathbb{R}^{NM} \times \mathbb{R}^M$,

$$\langle x, y \rangle_{\mathcal{H}} := \langle x^1, y^1 \rangle_{\mathbb{R}^N} + \mathbb{E}\{\langle x_{\xi}^2, y_{\xi}^2 \rangle_{\mathbb{R}^N}\} + \mathbb{E}\{x_{\xi}^3 y_{\xi}^3\},$$

con $\langle \cdot, \cdot \rangle_{\mathbb{R}^N}$ producto interno usual en \mathbb{R}^N y norma inducida por

$$\|x\|_{\mathcal{H}}^2 := \|x^1\|_{\mathbb{R}^N}^2 + \mathbb{E}\{\|x_{\xi}^2\|_{\mathbb{R}^N}^2\} + \mathbb{E}\{|x_{\xi}^3|^2\}. \quad (18)$$

Incorporación No-Anticipatividad I

Ahora, copiamos la etapa estocástica (14) en la etapa determinista.

Así, el espacio se convierte en $(\mathcal{H}, \langle \cdot, \cdot \rangle_{\mathcal{H}})$ con

$$\mathcal{H} := \mathbb{R}^{NM} \times \mathbb{R}^{NM} \times \mathbb{R}^M \text{ y}$$

$$\langle x, y \rangle_{\mathcal{H}} := \mathbb{E}\{\langle x_{\xi}^1, y_{\xi}^1 \rangle_{\mathbb{R}^N}\} + \mathbb{E}\{\langle x_{\xi}^2, y_{\xi}^2 \rangle_{\mathbb{R}^N}\} + \mathbb{E}\{x_{\xi}^3 y_{\xi}^3\},$$

con $\langle \cdot, \cdot \rangle_{\mathbb{R}^N}$ producto interno usual en \mathbb{R}^N , norma inducida por

$$\|x\|_{\mathcal{H}}^2 := \mathbb{E}\{\|x_{\xi}^1\|_{\mathbb{R}^N}^2\} + \mathbb{E}\{\|x_{\xi}^2\|_{\mathbb{R}^N}^2\} + \mathbb{E}\{|x_{\xi}^3|^2\}, \quad (19)$$

con $x = (x_1, x_2, x_3) = (c, g, q)$ de ahora en adelante.

Incorporación No-Anticipatividad II

Visualizando las variables como respuestas a los escenarios:

Agente	Etapas	
	Etapas 1	Etapas 2
Inversor	$c(\cdot) : \Xi \rightarrow \mathbb{R}^N$	$g(\cdot) : \Xi \rightarrow \mathbb{R}^N$
Consumidor	—	$q(\cdot) : \Xi \rightarrow \mathbb{R}$

Aplicamos la propiedad de *No-Anticipatividad* (8) con,

$$x_1(\xi) = c_\xi \in \mathbb{R}^N, \quad x_2(\xi) = \begin{pmatrix} g_\xi \\ q_\xi \end{pmatrix} \in \mathbb{R}^N \times \mathbb{R}, \quad \forall \xi \in \Xi,$$

Así, el Espacio de *No-Anticipatividad* es:

$$\mathcal{N} = \{(c, g, q) \in \mathcal{H} \mid c_\xi = c_{\xi'}, \quad \forall \xi, \xi' \in \Xi\}.$$

Incorporación No-Anticipatividad III

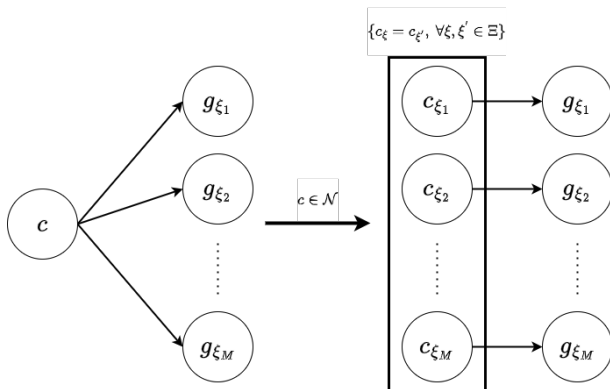


Figura: *No-Anticipatividad* aplicada a la variable $c \in \mathbb{R}^N$. Las flechas representan la dependencia de g_{ξ} sobre c o c_{ξ} para cada $\xi \in \Xi$.

Incorporación No-Anticipatividad IV

De esta forma, se tiene

Problema Centralizado No-Anticipativo

Resolver el problema equivalente a (16)

$$\min_{(c,g,q) \in \mathcal{H}} \quad \mathbb{E}_{\xi} \{ \varphi_1(c_{\xi}) + \varphi_2(\xi, g_{\xi}) + \varphi_3(\xi, q_{\xi}) \} \quad (20)$$

$$\begin{aligned} \text{s.t.} \quad & 1_N^T g_{\xi} - q_{\xi} \geq 0, \quad \forall \xi \in \Xi \\ & c_{\xi} - g_{\xi} \geq 0, \quad \forall \xi \in \Xi \\ & c \in \mathcal{N}, \\ & c_{\xi}, g_{\xi}, q_{\xi} \geq 0, \quad \forall \xi \in \Xi \end{aligned} \quad (21)$$

- La restricción de no-anticipatividad implica que la función objetivo del problema (20) es separable respecto a $\xi \in \Xi$.

Aplicación Algoritmos

1 Introducción

2 Problema de Equilibrio de Walras Estocástico

- Problema de Equilibrio
- No-Anticipatividad

3 Algoritmos

- Three-Operator Splitting Scheme (TOPS)
- Forward-Partial-Inverse Splitting (FPIS)
- Alternating Direction Method Multipliers (ADMM)

4 Simulación y Resultados Numéricos

- Problemas Inversor-Consumidor
- **Aplicación Algoritmos**
- Deducción del precio
- Resultados Numéricos

5 Conclusiones y Perspectivas

- Conclusiones
- Perspectivas

Parámetros I

Consideremos los siguientes parámetros por:

- Costos de inversión $I \in \mathbb{R}^N$.
- Costos marginales: $MC_\xi \in \mathbb{M}_{N \times N}(\mathbb{R})$, con MC_ξ matriz definida positiva, $\forall \xi \in \Xi$.
- Costos por carga perdida: $VOLL_\xi \in \mathbb{R}$, $\forall \xi \in \Xi$.
- Demanda: $D_\xi \in \mathbb{R}$, $\forall \xi \in \Xi$.

Asignemos las funciones de costo por:

Agente	Etapa	
	Etapa 1	Etapa 2
Inversor	$\varphi_1(c) = I^T c$	$\varphi_2(\xi, g_\xi) = \frac{1}{2} g_\xi^T MC_\xi g_\xi$
Consumidor	--	$\varphi_3(\xi, q_\xi) = -VOLL_\xi \cdot (D_\xi - q_\xi)$

- Si $c \in \mathcal{N} \implies \varphi_1(c_\xi) = I^T c_\xi = \mathbb{E}\{I^T c_\xi\}$, $\forall \xi \in \Xi$.

Parámetros II

Definimos los siguientes conjuntos:

$$D := \{(c, g, q) \in \mathcal{H} \mid c \geq g_\xi \geq 0, \quad \forall \xi \in \Xi\},$$

$$D_{\mathcal{N}} := \{(c, g, q) \in \mathcal{H} \mid c_\xi \geq g_\xi \geq 0, \quad \forall \xi \in \Xi\},$$

$$C := \{(c, g, q) \in \mathcal{H} \mid 1^T g_\xi \geq D_\xi - q_\xi \geq 0, \quad q_\xi \geq 0, \quad \forall \xi \in \Xi\},$$

los cuales son convexos, cerrados y no vacíos. Así, reescribimos el problema centralizado (16) por

$$\min_{(c, g, q) \in \mathcal{H}} \quad \varphi_1(c) + \mathbb{E}_\xi \{\varphi_2(\xi, g_\xi) + \varphi_3(\xi, q_\xi)\} + \iota_D(c, g, q) + \iota_C(c, g, q),$$

y para el problema centralizado no-anticipativo (20) por

$$\begin{aligned} \min_{(c, g, q) \in \mathcal{H}} \quad & \mathbb{E}_\xi \{\varphi_1(c_\xi) + \varphi_2(\xi, g_\xi) + \varphi_3(\xi, q_\xi)\} + \iota_{D_{\mathcal{N}}}(c, g, q) \\ & + \iota_C(c, g, q) + \iota_{\mathcal{N}}(c, g, q). \end{aligned}$$

Parámetros III

La constante Lipschitz L del gradiente de $\varphi_1 + \mathbb{E}\{\varphi_2 + \varphi_3\}$ de (16) y $\mathbb{E}\{\varphi_1 + \varphi_2 + \varphi_3\}$ de (20) es la misma, debido a la linealidad de φ_1 y así, L está dado por

$$L = \mathbb{E}\{\|MC_\xi\|_F\}, \quad (22)$$

donde $\|\cdot\|_F$ es la norma Frobenius, aunque es independiente de la norma matricial.

TOPS aplicado I

Para la aplicación del Algoritmo (1) *TOPS*, asignamos las de (10) como sigue

$$h(x) \longleftrightarrow \varphi_1(c) + \mathbb{E}\{\varphi_2(\xi, g_\xi) + \varphi_3(\xi, q_\xi)\}.$$

$$g(x) \longleftrightarrow \iota_D(c, g, q).$$

$$f(x) \longleftrightarrow \iota_C(c, g, q).$$

Al realizar esta asignación se tiene que $prox_{\gamma g} \equiv P_D$ y $prox_{\gamma f} \equiv P_C$.

TOPS aplicado II

Si $(\bar{c}, \bar{g}, \bar{q}) \in \mathcal{H}$ es el punto que proyectamos, entonces

Proyección $P_C(\bar{c}, \bar{g}, \bar{q})$

$P_C(\bar{c}, \bar{g}, \bar{q})$ resuelve,

$$\begin{aligned} \min_{(c,g,q) \in \mathcal{H}} \quad & \frac{1}{2} \|c - \bar{c}\|_{\mathbb{R}^N}^2 + \frac{1}{2} \mathbb{E}\{\|g_\xi - \bar{g}_\xi\|_{\mathbb{R}^N}^2\} + \frac{1}{2} \mathbb{E}\{(g_\xi - \bar{q}_\xi)^2\}, \\ \text{s.t.} \quad & (c, g, q) \in C, \end{aligned} \tag{23}$$

Proyección $P_D(\bar{c}, \bar{g}, \bar{q})$

$P_D(\bar{c}, \bar{g}, \bar{q})$ resuelve,

$$\begin{aligned} \min_{(c,g,q) \in \mathcal{H}} \quad & \frac{1}{2} \|c - \bar{c}\|_{\mathbb{R}^N}^2 + \frac{1}{2} \mathbb{E}\{\|g_\xi - \bar{g}_\xi\|_{\mathbb{R}^N}^2\} + \frac{1}{2} \mathbb{E}\{(g_\xi - \bar{q}_\xi)^2\}, \\ \text{s.t.} \quad & (c, g, q) \in D. \end{aligned}$$

TOPS aplicado III

- La función objetivo asignada a h satisface ser convexa y diferenciable con su diferencial ∇h L -Lipschitz continuo definida en (22).
- Las funciones asignadas a g y f son propias, convexas y semi-continuas inferiores.

Así las hipótesis del teorema de convergencia (2) se satisfacen, por ende, el siguiente algoritmo converge al óptimo.

TOPS aplicado IV

TOPS Aplicado

Algoritmo 4: *TOPS* Aplicado

Let: Sea $(z_1^0, z_2^0, z_3^0) \in \mathcal{H}$, $\gamma \in (0, \frac{2}{L})$, $\lambda_k \equiv 1$

1 **for** $k = 1, \dots, N$ **do**

2
$$\begin{pmatrix} c_g^k \\ g_g^k \\ q_g^k \end{pmatrix} = P_D \begin{pmatrix} z_1^k \\ z_2^k \\ z_3^k \end{pmatrix}$$

3
$$\begin{pmatrix} c_f^k \\ g_f^k \\ q_f^k \end{pmatrix} = P_C \left(2 \begin{pmatrix} c_g^k \\ g_g^k \\ q_g^k \end{pmatrix} - \begin{pmatrix} z_1^k \\ z_2^k \\ z_3^k \end{pmatrix} - \gamma \nabla h \begin{pmatrix} c_g^k \\ g_g^k \\ q_g^k \end{pmatrix} \right)$$

4
$$\begin{pmatrix} z_1^{k+1} \\ z_2^{k+1} \\ z_3^{k+1} \end{pmatrix} = \begin{pmatrix} z_1^k \\ z_2^k \\ z_3^k \end{pmatrix} + \lambda_k \left(\begin{pmatrix} c_f^k \\ g_f^k \\ q_f^k \end{pmatrix} - \begin{pmatrix} c_g^k \\ g_g^k \\ q_g^k \end{pmatrix} \right)$$

FPIS aplicado I

Para la aplicación del Algoritmo (2) *FPIS*, asignamos a las componentes de (11) de la siguiente forma:

$$g(x) \longleftrightarrow \mathbb{E}\{\varphi_1(c_\xi) + \varphi_2(\xi, g_\xi) + \varphi_3(\xi, q_\xi)\}.$$

$$f(x) \longleftrightarrow \iota_{D \cap C_{\mathcal{N}}}(c, g, q).$$

$$V \longleftrightarrow \mathcal{N} = \{(c, g, q) \in \mathcal{H} \mid c_\xi = c_{\xi'}, \quad \forall \xi, \xi' \in \Xi\}.$$

Al realizar esta asignación se tiene que $P_V \equiv P_{\mathcal{N}}$ y $prox_{\gamma f} \equiv P_{D_{\mathcal{N}} \cap C}$.

FPIS aplicado II

Si $(\bar{c}, \bar{g}, \bar{q}) \in \mathcal{H}$ es el punto que deseamos proyectar, entonces

Proyección $P_{\mathcal{N}}(\bar{c}, \bar{g}, \bar{q})$

$$P_{\mathcal{N}} \begin{pmatrix} \bar{c} \\ \bar{g} \\ \bar{q} \end{pmatrix} = \begin{pmatrix} \mathbb{E}\{\bar{c}\} \\ \bar{g} \\ \bar{q} \end{pmatrix}, \text{ con } \mathbb{E}\{\bar{c}\} = \begin{pmatrix} \mathbb{E}\{\bar{c}_{\xi}\} \\ \vdots \\ \mathbb{E}\{\bar{c}_{\xi}\} \end{pmatrix} \in \mathbb{R}^{NM}, \quad (24)$$

Calculo viene a partir de [1, Example 3.8].

Proyección $P_{D_{\mathcal{N}} \cap C}(\bar{c}, \bar{g}, \bar{q})$

$P_{D_{\mathcal{N}} \cap C}(\bar{c}, \bar{g}, \bar{q})$ resuelve,

$$\begin{aligned} \min_{(c, g, q) \in \mathcal{H}} \quad & \frac{1}{2} \mathbb{E}\{\|c - \bar{c}\|_{\mathbb{R}^N}^2\} + \frac{1}{2} \mathbb{E}\{\|g_{\xi} - \bar{g}_{\xi}\|_{\mathbb{R}^N}^2\} + \frac{1}{2} \mathbb{E}\{(g_{\xi} - \bar{q}_{\xi})^2\}, \\ \text{s.t.} \quad & (c, g, q) \in D_{\mathcal{N}} \cap C. \end{aligned} \quad (25)$$

Algoritmo 5: *FPIS* Aplicado

Let: $(z_1^k, z_2^k, z_3^k) \in \mathcal{H}, \gamma \in (0, \frac{2}{L})$

1 **for** $k = 1, \dots, N$ **do**

2
$$\begin{pmatrix} c^k \\ g^k \\ q^k \end{pmatrix} = P_{\mathcal{N}} \begin{pmatrix} z_1^k \\ z_2^k \\ z_3^k \end{pmatrix}$$

3
$$\begin{pmatrix} y_1^k \\ y_2^k \\ y_3^k \end{pmatrix} = \frac{1}{\gamma} \left(\begin{pmatrix} c^k \\ g^k \\ q^k \end{pmatrix} - \begin{pmatrix} z_1^k \\ z_2^k \\ z_3^k \end{pmatrix} \right)$$

4
$$\begin{pmatrix} s_1^k \\ s_2^k \\ s_3^k \end{pmatrix} = \begin{pmatrix} c^k \\ g^k \\ q^k \end{pmatrix} - \gamma P_{\mathcal{N}} \nabla g \begin{pmatrix} c^k \\ g^k \\ q^k \end{pmatrix} + \gamma \begin{pmatrix} y_1^k \\ y_2^k \\ y_3^k \end{pmatrix}$$

5
$$\begin{pmatrix} p_1^k \\ p_2^k \\ p_3^k \end{pmatrix} = P_{D \cap C_{\mathcal{N}}} \begin{pmatrix} s_1^k \\ s_2^k \\ s_3^k \end{pmatrix}$$

6
$$\begin{pmatrix} z_1^{k+1} \\ z_2^{k+1} \\ z_3^{k+1} \end{pmatrix} = \begin{pmatrix} z_1^k \\ z_2^k \\ z_3^k \end{pmatrix} + \lambda^k \left(\begin{pmatrix} p_1^k \\ p_2^k \\ p_3^k \end{pmatrix} - \begin{pmatrix} c^k \\ g^k \\ q^k \end{pmatrix} \right)$$

ADMM aplicado I

Para la aplicación del Algoritmo (3) *ADMM*, asignamos la función objetivo a las componentes que constituyen (12), esto es

$$\begin{aligned} f(x) &\longleftrightarrow \mathbb{E}_{\xi} \{ \varphi_1(c_{\xi}) + \varphi_2(\xi, g_{\xi}) + \varphi_3(\xi, q_{\xi}) + \iota_{D_{\mathcal{N}}}(c_{\xi}, g_{\xi}, q_{\xi}) \}, \\ g(z) &\longleftrightarrow \iota_C(z_1, z_2, z_3) + \iota_{\mathcal{N}}(z_1, z_2, z_3), \\ A &= -B = I_{NM+NM+M}, \quad c = 0, \end{aligned}$$

donde $I_{NM+NM+M}$ es una matriz identidad. Destacamos para $D_{\mathcal{N}}$, C y \mathcal{N} , algunas propiedades sobre las funciones indicatrices

$$\begin{aligned} \iota_{D_{\mathcal{N}}}(c, g, q) &= \iota_{D_{\mathcal{N}}}(c, g), \\ \iota_C(z_1, z_2, z_3) &= \iota_C(z_2, z_3), \\ \iota_{\mathcal{N}}(z_1, z_2, z_3) &= \iota_{\mathcal{N}}(z_1). \end{aligned}$$

ADMM aplicado II

Para $P_{\mathcal{N}}(\bar{c}, \bar{g}, \bar{q})$ ya fue calculada explícitamente en (24).

Proyección $P_C(\bar{g}, \bar{q})$

$P_C(\bar{g}, \bar{q})$ resuelve,

$$\begin{aligned} \min_{(c, g, q) \in \mathcal{H}} \quad & \frac{1}{2} \mathbb{E}\{\|g_{\xi} - \bar{g}_{\xi}\|^2\} + \frac{1}{2} \mathbb{E}\{(q_{\xi} - \bar{q}_{\xi})^2\} \\ \text{s.t.} \quad & (g, q) \in C \end{aligned}$$

- Dado que f y g , ι_C y $\iota_{\mathcal{N}}$ son propias convexas y semi-continuas inferiores.
- El Problema Centralizado No-anticipativo (20) satisface la condición de Slater.
- L_0 , definido en (13), posee un punto silla [6, Teorema 3.9].

ADMM aplicado III

El siguiente algoritmo converge a un óptimo (4).

Utilizamos las siguientes variables auxiliares:

Variables Auxiliares por iteración

Let: $r > 0$

- 1 $s_{i\xi}^{1k} = z_{i\xi}^{1k} - y_{i\xi}^{1k} - (1/r)I_i, \quad \forall i = 1, \dots, N \quad \forall \xi \in \Xi$
- 2 $s_{i\xi}^{2k} = r(MC_{ii\xi} + r)^{-1}(z_{i\xi}^{2k} - y_{i\xi}^{2k}), \quad \forall i = 1, \dots, N \quad \forall \xi \in \Xi$
- 3 $s_{\xi}^{3k} = z_{\xi}^{3k} - y_{\xi}^{3k} - (1/r)VOLL_{\xi}, \quad \forall \xi \in \Xi$
- 4
- 5
- 6 $t_{i\xi}^k = (r^{-1} + (MC_{ii\xi} + r)^{-1})^{-1}(s_{i\xi}^{2k} - s_{i\xi}^{1k} + (s_{i\xi}^{1k} - s_{i\xi}^{2k})_+), \quad \forall i = 1, \dots, N \quad \forall \xi \in \Xi$

donde $(\cdot)_+ = \max\{0, \cdot\}$. Luego, el algoritmo es:

ADMM aplicado IV

ADMM Aplicado

Algoritmo 6: ADMM Aplicado

Let: $r > 0$

1 **for** $k = 1, \dots, N$ **do**

$$2 \quad \begin{pmatrix} c_{i\xi}^{k+1} \\ g_{i\xi}^{k+1} \\ q_{\xi}^{k+1} \end{pmatrix} = \begin{pmatrix} s_{i\xi}^{1k} \\ s_{i\xi}^{2k} \\ s_{\xi}^{3k} \end{pmatrix} + (1/r) \begin{pmatrix} t_{i\xi}^k \\ -t_{i\xi}^k \\ 0 \end{pmatrix}, \quad \forall i = 1, \dots, N \quad \forall \xi \in \Xi$$

3

$$4 \quad z^{1k+1} = P_N(y^{1k} + c^{1k+1})$$

$$5 \quad \begin{pmatrix} z^{2k+1} \\ z^{3k+1} \end{pmatrix} = P_C \left(\begin{pmatrix} y^{2k} \\ y^{3k} \end{pmatrix} + \begin{pmatrix} g^{2k+1} \\ q^{3k+1} \end{pmatrix} \right)$$

6

$$7 \quad \begin{pmatrix} y^{1k+1} \\ y^{2k+1} \\ y^{3k+1} \end{pmatrix} = \begin{pmatrix} y^{1k} \\ y^{2k} \\ y^{3k} \end{pmatrix} + r \left(\begin{pmatrix} c^{k+1} \\ g^{k+1} \\ q^{k+1} \end{pmatrix} - \begin{pmatrix} z^{1k+1} \\ z^{2k+1} \\ z^{3k+1} \end{pmatrix} \right)$$

Deducción del precio de equilibrio

1 Introducción

2 Problema de Equilibrio de Walras Estocástico

- Problema de Equilibrio
- No-Anticipatividad

3 Algoritmos

- Three-Operator Splitting Scheme (TOPS)
- Forward-Partial-Inverse Splitting (FPIS)
- Alternating Direction Method Multipliers (ADMM)

4 Simulación y Resultados Numéricos

- Problemas Inversor-Consumidor
- Aplicación Algoritmos
- **Deducción del precio**
- Resultados Numéricos

5 Conclusiones y Perspectivas

- Conclusiones
- Perspectivas

Deducción del precio de equilibrio

Sea $\rho \in \mathbb{R}^M$ el precio de equilibrio.

- Ninguno de los 3 algoritmos está enfocado ni diseñado para determinar ρ .
- ρ es la variable dual del sub-problema P_C , es decir, es la variable dual asociada a la restricción de equilibrio (23) y (25).
- Calculamos ρ numéricamente al configurar explícitamente el solver y reescalándolo de forma multiplicativa:

$$\rho_\xi \longleftrightarrow \frac{\rho_\xi}{p_\xi}, \quad \forall \xi \in \Xi.$$

Resultados Numéricos

- 1 Introducción
- 2 Problema de Equilibrio de Walras Estocástico
 - Problema de Equilibrio
 - No-Anticipatividad
- 3 Algoritmos
 - Three-Operator Splitting Scheme (TOPS)
 - Forward-Partial-Inverse Splitting (FPIS)
 - Alternating Direction Method Multipliers (ADMM)
- 4 Simulación y Resultados Numéricos
 - Problemas Inversor-Consumidor
 - Aplicación Algoritmos
 - Deducción del precio
 - Resultados Numéricos
- 5 Conclusiones y Perspectivas
 - Conclusiones
 - Perspectivas

Métricas I

Las métricas utilizadas son:

Nombre	Métrica
<i>Distancia al Óptimo</i>	$\frac{\ x^k - x^*\ }{\ x^*\ }$
<i>Diferencia Función Objetivo</i>	$ f(x^k) - f(x^*) $
<i>Restricción No-Anticipatividad</i>	$\mathbb{E}\{\ c_\xi^k - P_{\mathcal{N}}(c_\xi^k)\ _{\mathbb{R}^N}\}$
<i>Restricción Equilibrio</i>	$\mathbb{E}\{ 1^T g_\xi^k - (D_\xi - q_\xi^k) \}$
<i>Restricción Capacidad</i>	$\mathbb{E}\{\ c_\xi^k - g_\xi^k\ _{\mathbb{R}^N}\}$
<i>Restricción Demanda</i>	$\mathbb{E}\{ D_\xi - q_\xi^k \}$
<i>Distancia al Precio Óptimo</i>	$\frac{\mathbb{E}\{ \rho_\xi^k - \rho_\xi^* \}}{\mathbb{E}\{ \rho_\xi^* \}}$

El criterio de parada es alcanzar un máximo de 10000 iteraciones.

Parámetros I

Consideremos los siguientes valores para los costos de inversión $I \in \mathbb{R}^N$ y costos por carga perdida $VOLL \in \mathbb{R}^M$ de forma transversal para todos los casos.

$$I = \begin{pmatrix} 5 \\ 50 \\ 95 \end{pmatrix}, \quad VOLL_{\xi} = 10000, \quad \forall \xi \in \Xi.$$

Asignamos los escenarios Ξ , el vector de probabilidad $p = (p_{\xi_1}, \dots, p_{\xi_5})$, los costos marginales MC y la demanda D , como sigue por caso.

Parámetros II

■ Caso 1: Escenarios Equiprobables.

	Caso 1				
Ξ	ξ_1	ξ_2	ξ_3	ξ_4	ξ_5
p	0,2	0,2	0,2	0,2	0,2
MC	10	9	12	7	14
	21	205	220	195	230
	410	420	390	440	370
D	200	750	1000	1250	1500

Cuadro: Parámetros para **Caso 1: Escenarios Equiprobables.**

La constante de Lipschitz (22) de la función objetivo es

$$L = 458,7.$$

Parámetros III

■ Caso 2: Probabilidades Heterogéneas.

	Caso 2				
Ξ	ξ_1	ξ_2	ξ_3	ξ_4	ξ_5
p	0,20	0,03	0,40	0,14	0,23
MC	10	9	12	7	14
	21	205	220	195	230
	410	420	390	440	370
D	200	750	1000	1250	1500

Cuadro: Parámetros para caso 2.

La constante de Lipschitz (22) de la función objetivo es

$$L = 453,2.$$

Parámetros IV

■ Caso 3: Escenario de costos elevados.

Incorporamos un sexto escenario.

	Caso 3					
Ξ	ξ_1	ξ_2	ξ_3	ξ_4	ξ_5	ξ_6
p	0,18	0,02	0,34	0,13	0,20	0,13
MC	10	9	12	7	14	880
	21	205	220	195	230	880
	410	420	390	440	370	880
D	200	750	1000	1250	1500	4000

Cuadro: Parámetros para caso 3.

La constante de Lipschitz (22) de la función objetivo es

$$L = 595,1.$$

Resultados I

Caso 1: Escenarios Equiprobables.

	Caso 1			Baseline
	TOPS	FPIS	ADMM	IPOPT
Distancia al Óptimo	$3,097e - 3$	$2,439e - 9$	$3,845e - 11$	—
Diferencia Función Objetivo	$1,385e - 4$	$1,144e - 11$	$1,613e - 12$	—
Restricción No-Anticipatividad	—	0,0	$4,547e - 14$	0,0
Restricción Equilibrio	$9,391e - 6$	$9,391e - 6$	$9,394e - 6$	$9,394e - 6$
Restricción Capacidad	464,3	464,6	464,6	464,6
Restricción Demanda	775,7	777,4	777,4	777,4
Distancia al Precio Óptimo	$2,810e - 3$	$2,596e - 11$	$1,836e - 13$	—
Times [s]	1190	629	602	$8,634e - 2$

Cuadro: Resultados comparativa **Caso 1: Escenarios Equiprobables.**

Resultados II

Caso 2: Probabilidades Heterogéneas.

	Caso 2			Baseline
	TOPS	FPIS	ADMM	IPOPT
Distancia al Óptimo	$1,871e-3$	$3,424e-4$	$2,294e-7$	—
Diferencia Función Objetivo	$3,839e-5$	$1,443e-6$	$7,705e-7$	—
Restricción No-Anticipatividad	—	0,0	$1,053e-13$	0,0
Restricción Equilibrio	$9,763e-6$	$9,755e-6$	$5,252e-4$	$9,780e-6$
Restricción Capacidad	466,4	467,8	467,9	467,9
Restricción Satisfacción Demanda	777,2	777,9	778,1	778,1
Distancia al Precio Óptimo	$3,523e-3$	$2,142e-4$	$5,448e-7$	—
Times [s]	1225	637	608	$7,982e-2$

Cuadro: Resultados comparativa **Caso 2: Probabilidades Heterogéneas.**

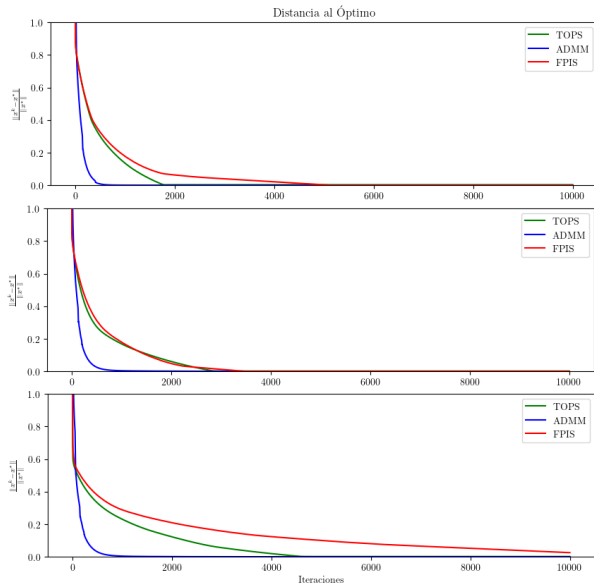
Resultados III

Caso 3: Escenario de costos elevados.

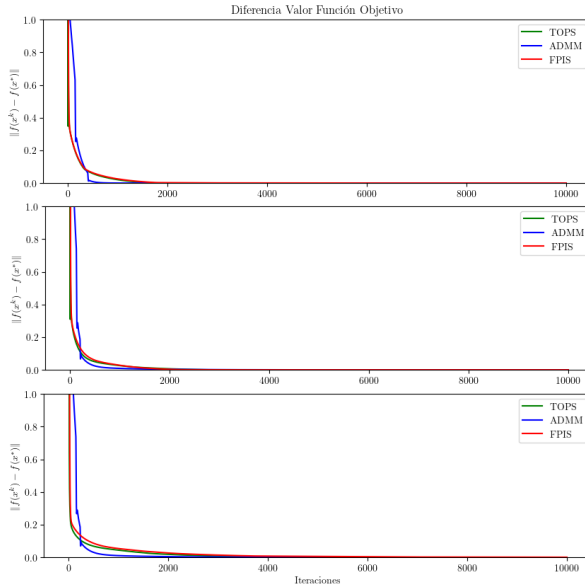
	Caso 3			Baseline
	TOPS	FPIS	ADMM	IPOPT
Distancia al Óptimo	$1,746e-3$	$2,530e-2$	$6,778e-7$	—
Diferencia Función Objetivo	$6,464e-5$	$8,506e-4$	$3,111e-6$	—
Restricción No-Anticipatividad	—	0,0	$1,529e-13$	0,0
Restricción Equilibrio	$1,374e-5$	$1,374e-5$	$1,830e-3$	$1,379e-5$
Restricción Capacidad	560,4	573,2	561,9	561,9
Restricción Satisfacción Demanda	678,3	679,6	679,4	679,4
Distancia al Precio Óptimo	$4,082e-3$	$1,920e-4$	$1,858e-6$	—
Times [s]	1229	642	613	$6,917e-2$

Cuadro: Resultados comparativa **Caso 3: Escenario de costos elevados.**

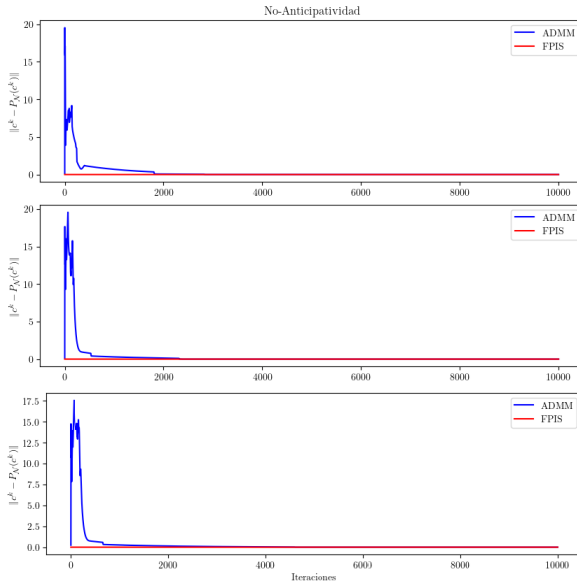
Distancia al Óptimo



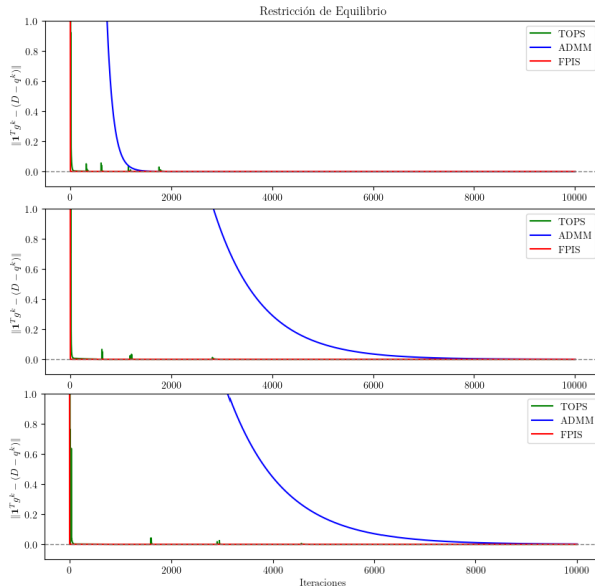
Diferencia Función Objetivo



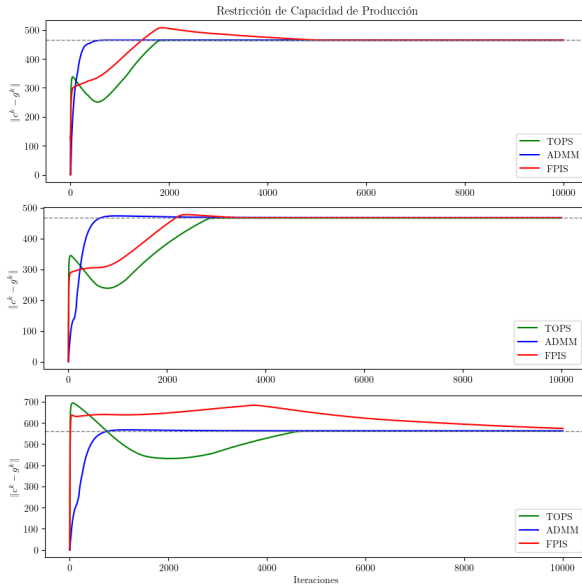
Restricción No-Anticipatividad



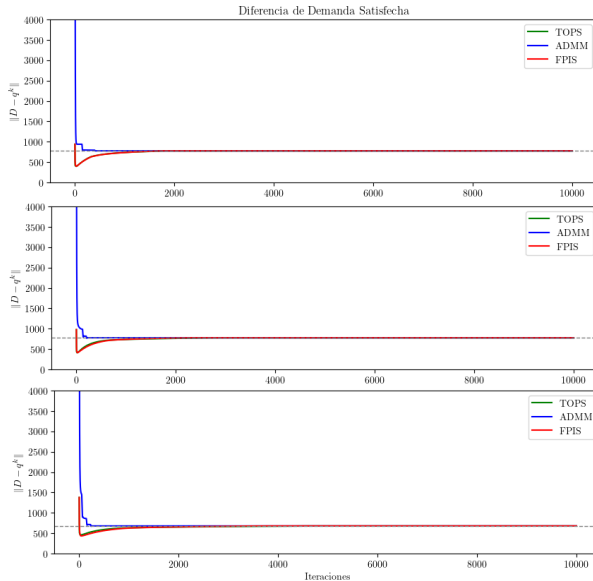
Restricción de Equilibrio



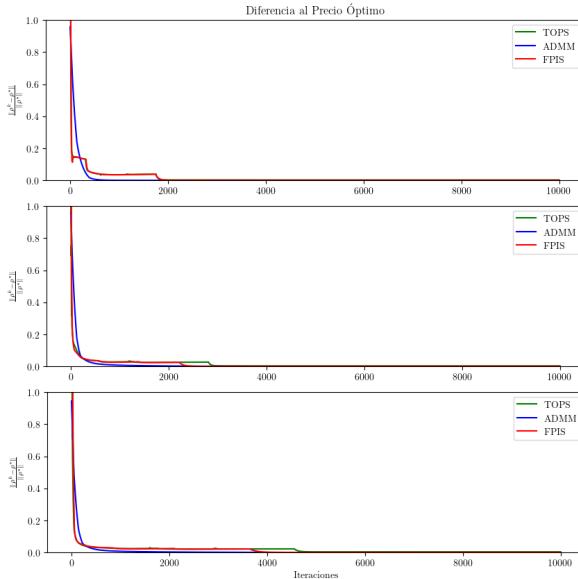
Restricción de Capacidad de Producción



Restricción Diferencia Demanda Satisfecha



Diferencia al Precio Óptimo



Soluciones Teóricas Caso 1 I

Caso 1: Escenarios Equiprobables.

Solución variables primales:

Inversor:

$$c = \begin{pmatrix} 1188,3 \\ 44,3 \\ 25,7 \end{pmatrix}, \quad g = \begin{pmatrix} 186,6 & 704,4 & 833,3 & 1188,3 & 714,3 \\ 8,9 & 30,9 & 44,3 & 42,8 & 43,5 \\ 4,6 & 15,1 & 25,6 & 19,0 & 25,7 \end{pmatrix},$$

Consumidor:

$$q = \begin{pmatrix} 0,0 \\ 0,0 \\ 96,7 \\ 0,0 \\ 716,5 \end{pmatrix},$$

Soluciones Teóricas Caso 1 II

Paralelamente, las variables duales:

$$\rho = \begin{pmatrix} 1865,7 \\ 6336,1 \\ 10000,0 \\ 8342,8 \\ 10000,0 \end{pmatrix}, \quad \mu = \begin{pmatrix} 0 & 0 & 0 & 25 & 0 \\ 0 & 0 & 250 & 0 & 0 \\ 0 & 0 & 0 & 0 & 717 \end{pmatrix},$$

con $\rho \in \mathbb{R}^5$ el multiplicador asociado a la restricción de equilibrio y μ el multiplicador asociado a la restricción de capacidad de producción (17).

Notar que $\rho_3 = \rho_5 = VOLL$.

Soluciones Teóricas Caso 2 I

Caso 2: Probabilidades Heterógeneas.

Solución variables primales:

Inversor:

$$c = \begin{pmatrix} 1188,2 \\ 44,9 \\ 25,9 \end{pmatrix}, \quad g = \begin{pmatrix} 186,6 & 704,0 & 833,3 & 1188,2 & 714,3 \\ 8,9 & 30,9 & 44,8 & 42,8 & 43,5 \\ 4,6 & 15,1 & 25,6 & 19,0 & 25,9 \end{pmatrix},$$

Consumidor:

$$q = \begin{pmatrix} 0 \\ 0 \\ 97 \\ 0 \\ 717 \end{pmatrix},$$

Soluciones Teóricas Caso 2 II

Paralelamente, las variables duales:

$$\rho = \begin{pmatrix} 1865,6 \\ 6336,1 \\ 10000,0 \\ 8351,9 \\ 10000,0 \end{pmatrix}, \quad \mu = \begin{pmatrix} 0 & 0 & 0 & 35 & 0 \\ 0 & 0 & 126 & 0 & 0 \\ 0 & 0 & 0 & 0 & 420 \end{pmatrix},$$

con $\rho \in \mathbb{R}^5$ el multiplicador asociado a la restricción de equilibrio y μ el multiplicador asociado a la restricción de capacidad de producción (17).

Notar que $\rho_3 = \rho_5 = VOLL$.

Soluciones Teóricas Caso 3 I

Caso 3: Escenario de costos elevados.

Solución variables primales:

Inversor:

$$c = \begin{pmatrix} 1188,2 \\ 44,8 \\ 25,7 \end{pmatrix}, \quad g = \begin{pmatrix} 186,6 & 704,0 & 833,3 & 1188,2 & 714,3 & 71,4 \\ 8,9 & 30,9 & 44,8 & 42,9 & 43,5 & 11,4 \\ 4,6 & 15,1 & 25,6 & 19,0 & 25,7 & 11,4 \end{pmatrix},$$

Consumidor:

$$q = \begin{pmatrix} 0 \\ 0 \\ 97 \\ 0 \\ 717 \\ 3966 \end{pmatrix},$$

Soluciones Teóricas Caso 3 II

Paralelamente, las variables duales:

$$\rho = \begin{pmatrix} 1865,7 \\ 6336,1 \\ 10000,0 \\ 8357,0 \\ 10000,0 \\ 10000,0 \end{pmatrix}, \quad \mu = \begin{pmatrix} 0 & 0 & 0 & 39 & 0 & 0 \\ 0 & 0 & 145 & 0 & 0 & 0 \\ 0 & 0 & 0 & 0 & 484 & 0 \end{pmatrix},$$

con $\rho \in \mathbb{R}^6$ el multiplicador asociado a la restricción de equilibrio y μ el multiplicador asociado a la restricción de capacidad de producción (17).

Notar que $\rho_3 = \rho_5 = \rho_6 = VOLL$.

Conclusiones y Perspectivas

- 1 Introducción
- 2 Problema de Equilibrio de Walras Estocástico
 - Problema de Equilibrio
 - No-Anticipatividad
- 3 Algoritmos
 - Three-Operator Splitting Scheme (TOPS)
 - Forward-Partial-Inverse Splitting (FPIS)
 - Alternating Direction Method Multipliers (ADMM)
- 4 Simulación y Resultados Numéricos
 - Problemas Inversor-Consumidor
 - Aplicación Algoritmos
 - Deducción del precio
 - Resultados Numéricos
- 5 Conclusiones y Perspectivas
 - Conclusiones
 - Perspectivas

Conclusiones - Conclusiones Generales

- Los tres métodos (*TOPS*, *FPIS*, *ADMM*) calculan satisfactoriamente el óptimo del problema.
- *TOPS* se usa para el problema centralizado, mientras que *FPIS* y *ADMM* se aplican añadiendo la condición de no-anticipatividad.
- En términos de precisión respecto a la distancia al óptimo.
 - **Más preciso:** *ADMM*.
 - **Intermedio:** *FPIS*.
 - **Menos preciso:** *TOPS*.
- En términos de tiempo de cómputo.
 - **Más rápido:** *ADMM*.
 - **Intermedio:** *FPIS*.
 - **Más lento:** *TOPS*.
- Cada método tiene sus propias ventajas debido a la naturaleza y construcción de cada algoritmo.

Conclusiones - Ventajas y Desventajas I

■ ***TOPS.***

• **Ventajas:**

- Presenta factibilidad temprana sobre las restricciones y distancias al óptimo primal y dual.
- Menor uso de memoria computacional debido a la menor dimensionalidad de la variable c .

• **Desventajas:**

- Baja precisión en términos de distancia al óptimo, diferencia en la función objetivo y distancia al precio óptimo.
- Mayor tiempo de cómputo debido al uso de dos métodos numéricos para hallar proyecciones.

Conclusiones - Ventajas y Desventajas II

■ **FPIS.**

• **Ventajas:**

- Rendimiento promedio entre los algoritmos.
- Precisión media en términos de órdenes de magnitud.
- Factibilidad temprana en restricciones de equilibrio y no-anticipatividad.
- Costo en memoria computacional promedio.

• **Desventajas:**

- Requiere un mayor número de iteraciones para alcanzar la distancia al óptimo primal y dual.

Conclusiones - Ventajas y Desventajas III

■ **ADMM.**

• **Ventajas:**

- Mayor precisión en el cálculo de las variables primales y duales.
- Superior en rapidez de cómputo debido al uso de métodos exactos para proyecciones.

• **Desventajas:**

- Imprecisiones en las restricciones del problema, especialmente en la restricción de equilibrio y no-anticipatividad.
- Mayor dependencia de memoria computacional debido a la duplicación del número de variables.

Conclusiones - Otros Hallazgos

- Relación entre multiplicadores ρ y μ con parámetros del problema.
 - ρ_ξ y $D_\xi - q_\xi$ tienen una relación inversamente proporcional de constante $VOLL_\xi$, para todo $\xi \in \Xi$.
 - μ está relacionado directamente con costos marginales y costos de inversión.
- *ADMM* es flexible y permite descomponer variables del problema, ideal para alta precisión numérica en variables primales y duales.
- *TOPS* es ventajoso para problemas de alta dimensionalidad y proyecciones complejas con escasos recursos computacionales.
- *FPIS* es balanceado entre tiempos de cómputo y precisión numérica, pero más rígido en la estructura del problema.

Conclusiones - Recomendaciones de Uso

- **ADMM**: Ideal para alta precisión numérica en variables primales y duales, cuando el costo en memoria no es un impedimento.
- **TOPS**: Adecuado para alta dimensionalidad, proyecciones complejas y limitados recursos computacionales.
- **FPIS**: Balanceado entre tiempo de cómputo y precisión, aunque exige una estructura más compacta del problema.

Perspectivas

- La relación entre el número de iteraciones que necesita para alcanzar una tolerancia determinada y el valor de las constantes γ en (2), γ y λ_k en (3) y r en (13).
- Pasar de métodos numéricos utilizados para calcular las proyecciones a métodos directos. El apoyo de subrutinas entre iteraciones reduce la rapidez de los algoritmos.
- Relajar restricciones de los conjuntos D , D_N y C e incorporarlas en la función objetivo mediante métodos de penalización.
- Correlación entre las puntas en la restricción de equilibrio en (90) y los cambios de concavidad y dirección en la trayectoria evaluada en la restricción de capacidad de producción en (90).
- Analizar otros criterios de parada para los algoritmos.
- Incorporar métodos de aceleración, como en [4, Sección 3.2], especial para para soluciones más dispersas (*sparse*).

Referencias I

- [1] HH Bauschke y PL Combettes. «Convex Analysis and Monotone Operator Theory in Hilbert Spaces, 2011». En: *CMS books in mathematics*. DOI 10 (2011), págs. 978-1.
- [2] Stephen Boyd et al. «Distributed optimization and statistical learning via the alternating direction method of multipliers». En: *Foundations and Trends® in Machine learning* 3.1 (2011), págs. 1-122.
- [3] Luis M Briceno-Arias. «Forward-Douglas–Rachford splitting and forward-partial inverse method for solving monotone inclusions». En: *Optimization* 64.5 (2015), págs. 1239-1261.
- [4] Damek Davis y Wotao Yin. «A three-operator splitting scheme and its optimization applications». En: *Set-valued and variational analysis* 25 (2017), págs. 829-858.
- [5] Steven A Gabriel et al. *Complementarity modeling in energy markets*. Vol. 180. Springer Science & Business Media, 2012.

Referencias II

- [6] Mikulas Luptacik et al. *Mathematical optimization and economic analysis*. Vol. 287. Springer, 2010.
- [7] Juan C Muñoz et al. «Analysis of generation investments under price controls in cross-border trade of electricity». En: *Energy Economics* 123 (2023), pág. 106722.
- [8] Francisco Muñoz Espinoza. «Electricity market design for low-carbon and flexible systems: Room for improvement in Chile». En: . (2023).
- [9] Takashi Negishi. «From Samuelson's stability analysis to non-walrasian economics». En: *Samuelson and Neoclassical Economics*. Springer, 1982, págs. 119-125.
- [10] Welington de Oliveira. «Risk-averse stochastic programming and distributionally robust optimization via operator splitting». En: *Set-Valued and Variational Analysis* 29.4 (2021), págs. 861-891.

Referencias III

- [11] R Tyrrell Rockafellar y Jie Sun. «Solving monotone stochastic variational inequalities and complementarity problems by progressive hedging». En: *Mathematical Programming* 174.1 (2019), págs. 453-471.
- [12] R Tyrrell Rockafellar y Roger JB Wets. «Stochastic variational inequalities: single-stage to multistage». En: *Mathematical Programming* 165.1 (2017), págs. 331-360.
- [13] Jie Sun, Honglei Xu y Min Zhang. «A new interpretation of the progressive hedging algorithm for multistage stochastic minimization problems». En: *Journal of Industrial & Management Optimization* 16.4 (2020), pág. 1655.

Cálculo de Equilibrio de Mercado en Economías con Incertidumbre vía Métodos de Primer Orden

Memoria de Título - MAT308

Estudiante: Alan Grez Jimenez
Profesores Guía: Julio Deride - Luis Briceño
Presidente Comisión: Nicolás Hernández

Departamento de Matemática
Universidad Técnica Federico Santa María

27 Junio 2024

Apéndice Imágenes I

Distancia al Óptimo.

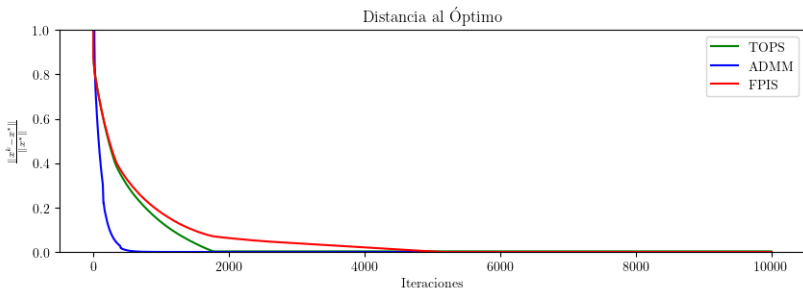


Figura: Caso 1. Escenarios Equiprobables.

Apéndice Imágenes II

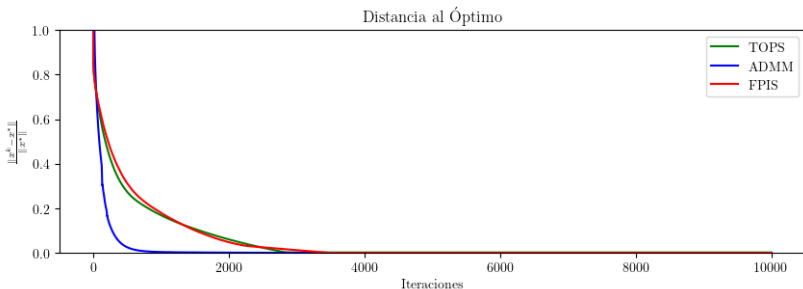


Figura: Caso 2. Escenarios Heterogéneos.

Apéndice Imágenes III

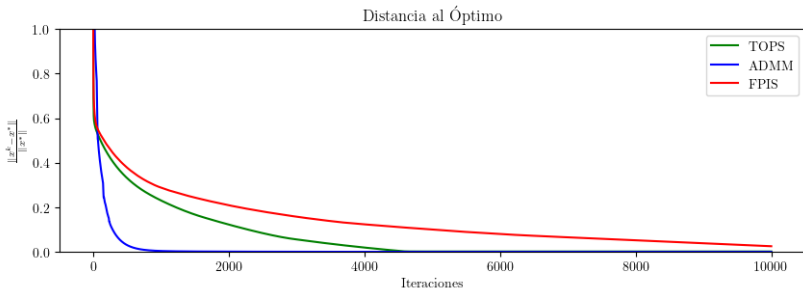


Figura: Caso 3. Escenarios de Costos Elevados.

Apéndice Imágenes IV

Diferencia Función Objetivo.

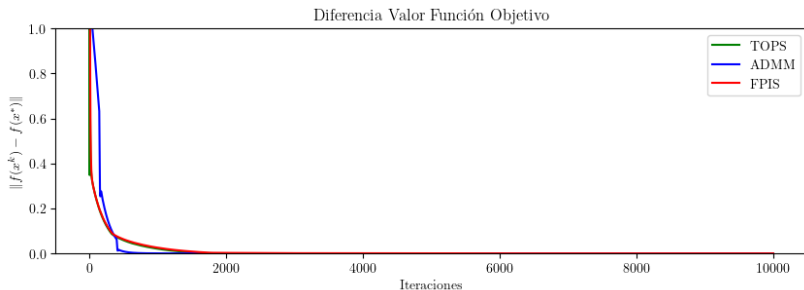


Figura: Caso 1. Escenarios Equiprobables.

Apéndice Imágenes V

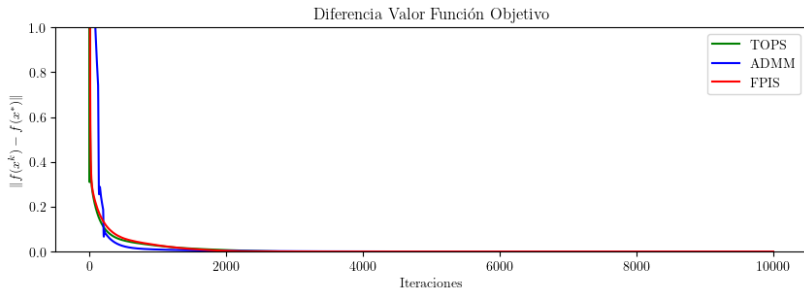


Figura: Caso 2. Escenarios Heterogéneos.

Apéndice Imágenes VI

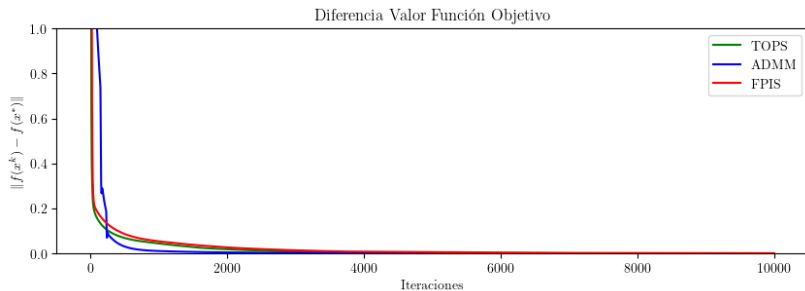


Figura: Caso 3. Escenarios de Costos Elevados.

Restricción No-Anticipatividad.

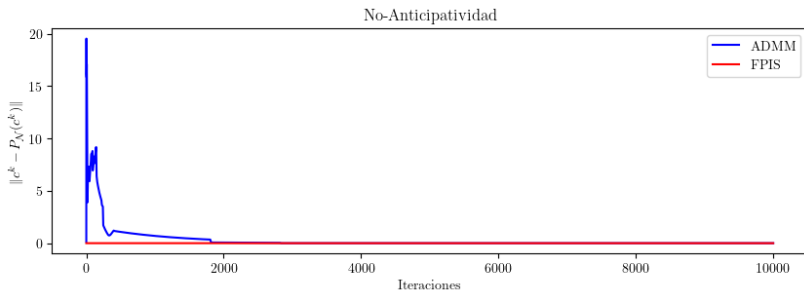


Figura: Caso 1. Escenarios Equiprobables.

Apéndice Imágenes VIII

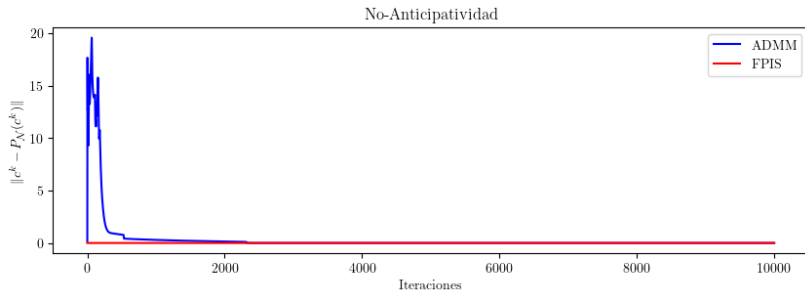


Figura: Caso 2. Escenarios Heterogéneos.

Apéndice Imágenes IX

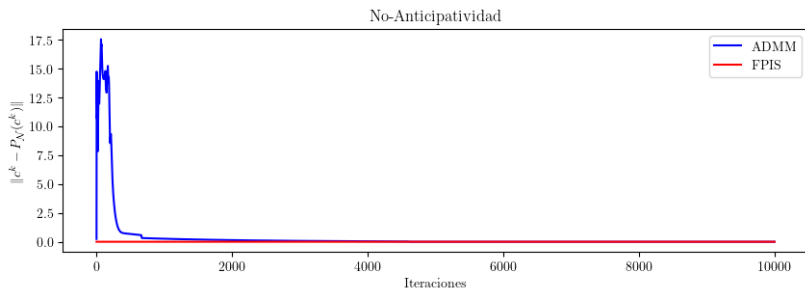


Figura: Caso 3. Escenarios de Costos Elevados.

Restricción de Equilibrio.

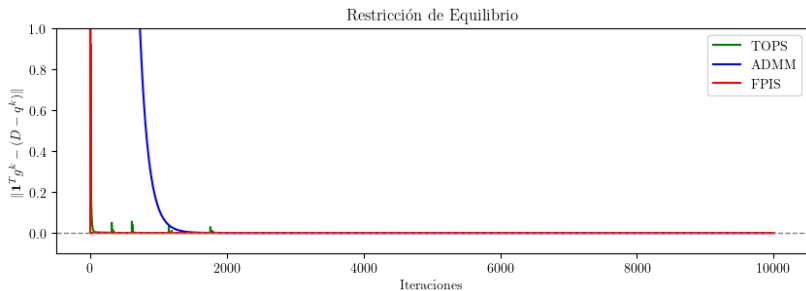


Figura: Caso 1. Escenarios Equiprobables.

Apéndice Imágenes XI

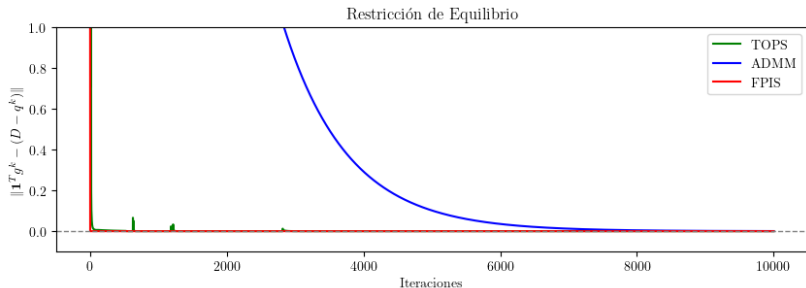


Figura: Caso 2. Escenarios Heterogéneos.

Apéndice Imágenes XII

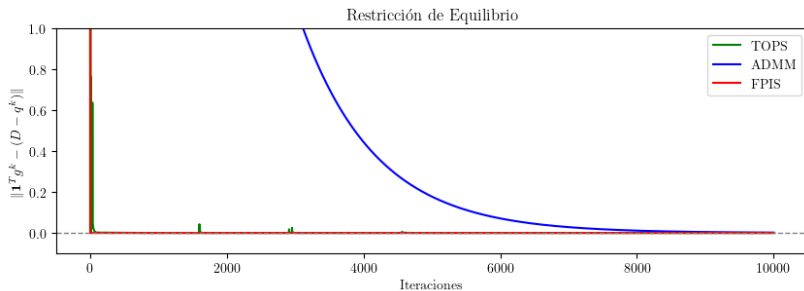


Figura: Caso 3. Escenarios de Costos Elevados.

Restricción de Capacidad de Producción

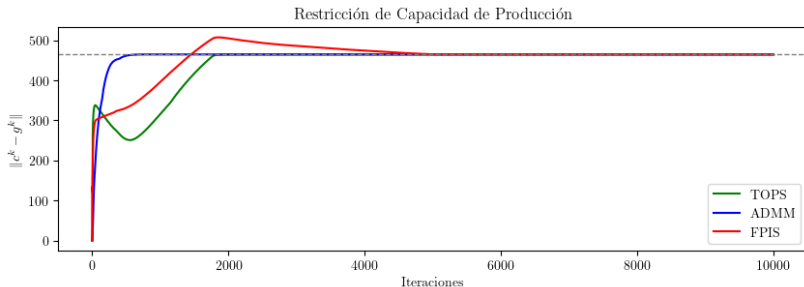


Figura: Caso 1. Escenarios Equiprobables.

Apéndice Imágenes XIV

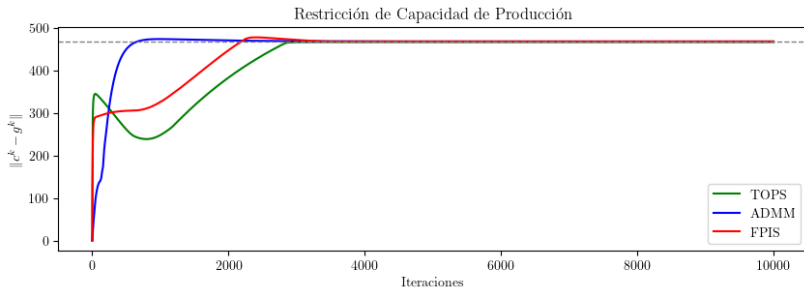


Figura: Caso 2. Escenarios Heterogéneos.

Apéndice Imágenes XV

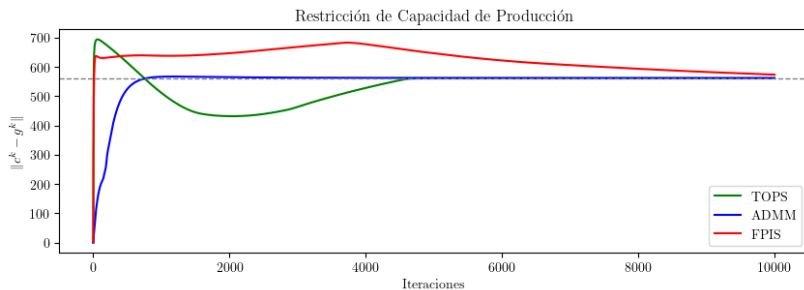


Figura: Caso 3. Escenarios de Costos Elevados.

Restricción Diferencia Demanda Satisfecha

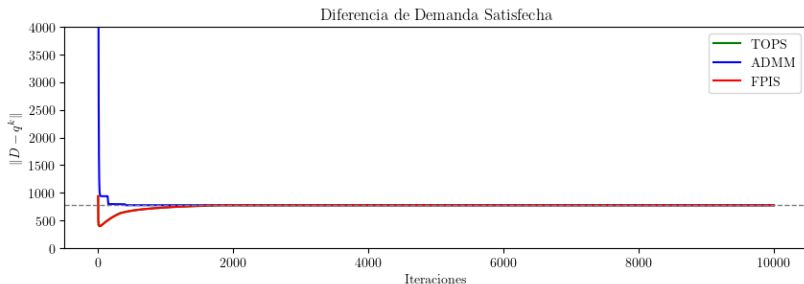


Figura: Caso 1. Escenarios Equiprobables.

Apéndice Imágenes XVII

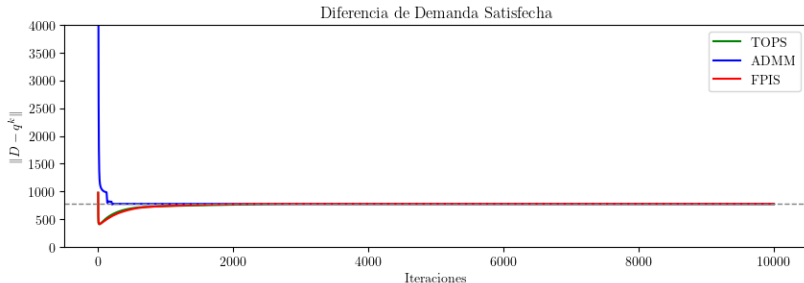


Figura: Caso 2. Escenarios Heterogéneos.

Apéndice Imágenes XVIII

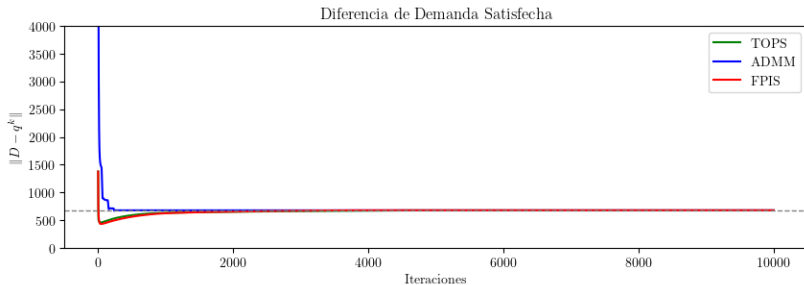


Figura: Caso 3. Escenarios de Costos Elevados.

Diferencia al Precio Óptimo

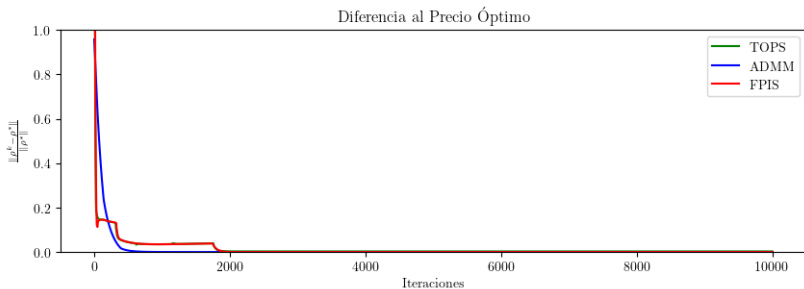


Figura: Caso 1. Escenarios Equiprobables.

Apéndice Imágenes XX

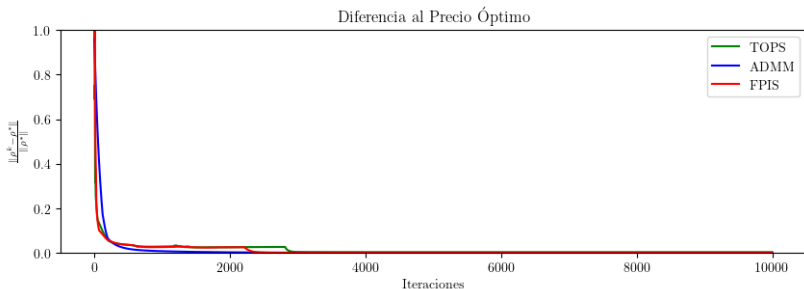


Figura: Caso 2. Escenarios Heterogéneos.

Apéndice Imágenes XXI

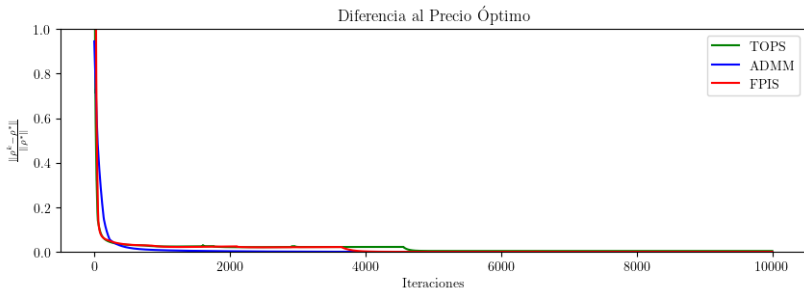


Figura: Caso 3. Escenarios de Costos Elevados.